

## تحلیل تنش و نرخ کرنش خزشی مرحله پایدار کامپوزیت‌های با تقویت‌کننده کوتاه به روش تفاضل محدود

علی عابدیان<sup>۲</sup> و علی قوامی<sup>۳</sup>

مهردی مندلی<sup>۱</sup>

دانشگاه صنعتی شریف، دانشکده مهندسی هواشناسی

دانشگاه آزاد اسلامی، واحد علوم و تحقیقات،

دانشکده مهندسی مکانیک و هواشناسی، گروه مهندسی هواشناسی

### چکیده

در این نوشتار از روش تفاضل محدود برای حل معادلات تعادل و بنیادی خزش در مدل مایکرومکانیک جهت بدست آوردن میدان‌های تنش و نرخ کرنش خزشی مرحله پایدار کامپوزیت تحت بار کششی استفاده شده است. به منظور مدل‌سازی مایکرومکانیک، مدل تقارن محوری تک‌سلول به عنوان مدل هندسی استاندارد انتخاب شده و شرایط مرزی مناسب در سطوح تک‌سلول مورد استفاده قرار گرفته‌اند. در انتهای، پس از بررسی توزیع تنش‌ها در زمینه، نرخ کرنش کامپوزیت بدست آمده از روش حاضر با مقادیر بدست آمده از حل المان محدود و تست‌های آزمایشگاهی با در نظر گرفتن قانون نمایی و توانی برای خزش زمینه مقایسه شده است. مطالعه نتایج بدست آمده کمک زیادی به شناخت نحوه حرکت ماده‌ی زمینه در کامپوزیت و مکانیزم انتقال بار از زمینه به تقویت‌کننده می‌کند.

واژه‌های کلیدی: کامپوزیت با تقویت‌کننده کوتاه، خزش، روش تفاضل محدود

### Stress Analysis and Steady State Creep Strain Rate in a Short Fiber Composite, Using Finite Difference Method

Mehdi Mondali, Ali Abedian, and Ali Ghavami

#### ABSTRACT

A finite difference technique is developed to predict the second stage creep displacement rate and stress analysis of a short fiber composite subjected to a constant axial load through a micromechanical approach. An axisymmetric model is utilized for micromechanical modeling of the composite. The appropriate boundary conditions are applied to the boundaries of the unit cell. Both the exponential and power laws are adopted to describe the matrix creep behavior. Accordingly, the stress distribution in the matrix material is obtained and the predicted creep strain rate by the proposed approach is compared with the experimental and FEM results. This study can help to investigate the flow of the matrix material in composite and stress transfer mechanism from the matrix to the fiber.

<sup>۱</sup> استادیار (نویسنده پاسخگو): m\_mondali@yahoo.com

<sup>۲</sup> دانشیار: abedian@sharif.ir

<sup>۳</sup> کارشناس ارشد

گرفت [۱۵]. با وجود اینکه نتایج بدست آمده در برخی از موارد رضایت‌بخش به نظر می‌رسید، ولی در موارد زیادی نیز اختلافاتی بین نتایج عددی بدست آمده و نتایج آزمایشگاهی وجود داشت. در ادامه‌ی بررسی‌ها بر روی عکسبرداری‌های انجام شده روی نمونه‌های آزمایشگاهی، شواهدی از بروز خرابی در مرز میان زمینه و تقویت‌کننده به صورت گستینگی را نمایان کرد [۱۶] و مدل‌سازی‌های عددی با در نظر گرفتن این خرابی‌ها پیشرفت قابل ملاحظه‌ای را در نتایج بدست آمده نشان داد [۱۷].

در این مقاله، از شیوه‌ای بر پایه روش تفاضل محدود برای بدست آوردن تنش و نرخ کرنش خرزی مرحله‌ی پایدار کامپوزیت Al6061-15%SiC استفاده شده است. کامپوزیت تحت بار کششی ثابت و دمای K 580 در نظر گرفته شده و جهت مدل‌سازی مایکرومکانیک، مدل تقارن محوری تکسلول به عنوان مدل هندسی استاندارد انتخاب شده و شرایط مرزی مناسب در سطوح تکسلول مورد استفاده قرار گرفته است. مدل ارایه شده، با حل دستگاه معادلات کوپل، شامل معادلات تعادل و معادلات ساختاری خرزش در حالت تقارن محوری، قادر به تعیین میدان‌های نرخ کرنش خرزشی در جهات محوری و شعاعی و تعیین میدان‌های تنش در اطراف تقویت‌کننده می‌باشد.

## ۲- مدل هندسی و شرایط مرزی حاکم

به منظور حل مسأله به روش عددی، معمولاً سازه به همراه بارگذاری و شرایط فیزیکی حاکم بر آن مدل‌سازی می‌شود. در اینجا مشابه دیگر روش‌ها، فاز تقویت‌کننده به صورت سیلندرها و یا صفحه‌هایی که با نظم خاصی در طول یکدیگر در فاز زمینه قرار گرفته‌اند ایده‌آل سازی می‌شود. در این حالت، تغییر شکل کامپوزیت می‌تواند با در نظر گرفتن یک تکسلول<sup>۴</sup> شامل یک یا چند تقویت‌کننده استوانه‌ای یا صفحه‌ای و زمینه‌ی اطراف آن شبیه‌سازی شود. با توجه به واقعیت بالا، فرض می‌شود که یک تکسلول از تقویت‌کننده‌ای استوانه‌ای با طول  $2l$  و با شعاع  $a$  که درون یک استوانه هم‌محور به طول  $2L$  و شعاع  $b$  از

## ۱- مقدمه

کارایی بالای کامپوزیت‌های زمینه فلزی<sup>۱</sup> با تقویت‌کننده‌ی کوتاه در دماهای کاری بالا در کنار چگالی پایین این مواد باعث شده که این دسته از مواد به عنوان یکی از کاندیداهای اصلی در طراحی و ساخت سازه‌های پیشرفته مدد نظر قرار گیرند. امروزه مواد مرکب زمینه فلزی به طور وسیعی در صنایع هواشناسی، خودروسازی، الکترونیک، لوازم ورزشی و بسیاری موارد دیگر مورد استفاده قرار می‌گیرند. استفاده‌ی صحیح از این مواد تنها با شناخت مکانیزم تغییر شکل آنها تحت شرایط مختلف بارگذاری امکان پذیر می‌باشد. از این رو در سال‌های اخیر پیش‌بینی رفتار خرزشی این دسته از مواد مورد بررسی بسیاری از محققین و دانشمندان قرار گرفته است و روش‌های جدیدی نیز در همین زمینه توسط آنها ارایه شده است. در کنار روش‌های پرهزینه و زمان برآزمایشگاهی، روش‌های تئوری و عددی متفاوتی نیز در این زمینه ارایه شده که قادرند رفتار خرزشی این مواد را با دقچهای مختلف پیش‌بینی کنند.

در اکثر روش‌های تئوری، مکانیزم انتقال بار از زمینه به تقویت‌کننده به عنوان مبنای اصلی تعیین رفتار خرزشی مواد کامپوزیتی مورد بررسی قرار گرفته است. در تحقیقات ابتدایی، معمولاً از مدل‌های یک بعدی استفاده شده و مکانیزم انتقال بار با استفاده از تئوری معروف عقب افتادگی برشی<sup>۲</sup> [۱۳-۷-۱] توضیح داده می‌شد. در سال‌های بعد، تئوری عقب افتادگی برشی مورد اصلاحاتی قرار گرفت و روش‌های نوینی همچون تکنیک تقویت‌کننده مجازی<sup>۳</sup> [۱۴ و ۱۵]، با دقت خوبی جهت تعیین میدان‌های تنش در حالت الاستیک مورد استفاده قرار گرفت.

با پیشرفت کامپیوترها و افزایش قدرت محاسباتی آنها در سال‌های اخیر، تمایل به استفاده از روش‌های عددی در میان دانشمندان افزایش یافت. رفتار خرزشی و پارامترهای هندسی مؤثر در آن به طور وسیعی توسط روش‌های بر مبنای مکانیک محیط‌های پیوسته و با استفاده از نرم‌افزارهای تجاری المان محدود بررسی قرار

<sup>1</sup> Metal Matrix Composites (MMC)

<sup>2</sup> Shear Lag Theory

<sup>3</sup> Imaginary Fiber Technique

جنس زمینه قرار گرفته و هیچ نوع گسستگی بین این دو فاز وجود نداشته باشد. برای سهولت، دستگاه مختصات استوانه‌ای  $(r, \theta, z)$  هم‌مرکز با تقویت‌کننده در بدست آوردن معادلات استفاده شده است. تقارن موجود در هندسه، بارگذاری و جنس مواد این امکان را فراهم می‌آورد که با اعمال شرایط مرزی مناسب، مدل سه بعدی تک سلول به یک مدل تقارن محوری با کاهش چشمگیر محاسبات و در نتیجه زمان حل و حافظه مورد نیاز در حل عددی تبدیل شود. در این مقاله فرض می‌شود که تقویت‌کننده دارای رفتار الاستیک بوده و تنها ماده زمینه وارد فاز خرزش شده و تغییرات ابعادی وابسته به زمان پیدا کند. رفتار خرزشی زمینه نیز با استفاده از قانون زیر بیان می‌شود:

$$\dot{\varepsilon}_e = A \exp\left(\frac{\sigma_e}{B}\right). \quad (1)$$

این رابطه به عنوان قانون نمایی خرزش شناخته می‌شود [۴-۲] که  $\sigma_e$  تنش معادل بوده و  $A$  و  $B$  مقادیر ثابتی می‌باشند.

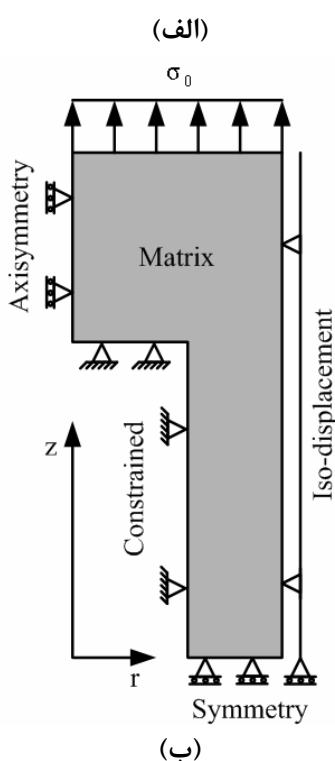
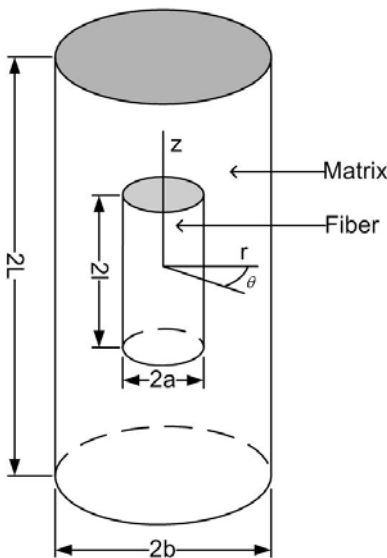
با توجه به مدل تک سلول در نظر گرفت شده، سطوح بیرونی سلول در تماس با سلول‌های مجاور می‌باشند، بنابراین با توجه به اثر سلول‌های مجاور، سطوح بیرونی باید دارای تغییر مکان و در نتیجه نرخ تغییر مکان یکسان بوده و عاری از هرگونه تنش برشی باشند [۱۵ و ۲۲]. بنابراین داریم:

$$\frac{di}{\hat{z}} = 0 \quad \text{or} \quad u(b, z) = i_b, \quad \tau_z = 0 \quad \text{on } r = b. \quad (2)$$

شرایط مرزی مذکور تضمین می‌کنند که تک سلول پس از تغییر شکل نیز به صورت یک استوانه با سطوح انتهایی صاف باقی مانده و از نظر هندسی با سلول‌های مجاور سازگاری داشته باشد. به منظور شبیه‌سازی تست خرزش با تنش ثابت، تنش  $\sigma_0$  در جهت قرارگیری تقویت‌کننده‌ها بر روی سطح بالایی تک سلول بصورت کششی اعمال شده است. مدل تک سلول استاندارد و ساده شده‌ی آن به همراه شرایط مرزی حاکم در شکل ۱ ارائه شده‌اند.

### ۳- روش حل

در این بخش ابتدا معادلات حاکم بر مسئله ارائه شده و سپس با استفاده از روش تفاضل محدود و اعمال شرایط مرزی مطلوب دستگاه معادلات حاکم حل شده است.



شکل (۱): (الف)- مدل تک سلولی استاندارد، (ب)- مدل ساده شده تک سلول به همراه شرایط مرزی حاکم

تکراری<sup>۲</sup>، خطی‌سازی شده است [۲۳]. به منظور خطی‌سازی معادلات، ابتدا با فرض یک توزیع اولیه برای تنش و نرخ تغییر مکان در کل دامنه حل، ضرایب غیر خطی محاسبه شده و دستگاه معادلات ماتریسی حل می‌شود. در مرحله بعد، مقادیر فرض شده با استفاده از نتایج جدید بدست آمده و بکارگیری تکنیک آندر-ریلاکسیشن<sup>۳</sup> [۲۴-۲۵] برآز رسانی می‌شوند. دو مرحله‌ای گفته شده آنقدر تکرار می‌شود. تا جواب نهایی بدست آمده به مقادیر واقعی همگرا شود. تکنیک دو مرحله‌ای به کار گرفته شده جهت خطی‌سازی معادلات را می‌توان به صورت ساده شده زیر بیان نمود:

$$X^{n+1} = (1 - \omega)X^n + \omega [L(X^n)]^{-1} b, \quad (6)$$

که در آن،

$$X = [x_1 \dots x_i]^T, \quad 1 \leq i \leq m \quad (7)$$

$x_i = [\sigma_{zz} \ \sigma_{rr} \ \sigma_{\theta\theta} \ \tau_{rz} \ \dot{u} \ \dot{w}]^T$  می‌باشد. اندیس  $i$  شمارنده‌ی نودهای داخلی شبکه محاسباتی بوده و از ۱ تا مقدار بیشینه  $m$  تغییر می‌کند. تکنیک دو مرحله‌ای به کار گرفته شده آنقدر تکرار می‌شود تا شرط همگرایی زیر را ارضا نماید:

$$\left| \frac{X^{n+1} - X^n}{X^n} \right|_{\max} \leq e. \quad (8)$$

در روابط و معادلات گفته شده،  $L$  ماتریس ضرایب با اندازه  $6m \times 6m$  است که در بردارنده‌ی مقادیر غیرخطی  $K$  بوده و در نتیجه تابعی از  $X$  می‌باشد. همچنین، "b" نیز بردار در بردارنده مقادیر مرزی بوده و  $\omega$  فاکتور آندر-ریلاکسیشن می‌باشد.

### ۳-۳- نحوه محاسبه $\dot{u}_b$

با توجه به این نکته که نیرو یا تنشی در جهت شعاعی بر سطح بیرونی تکسلول اعمال نشده و تنها تنش محوری  $\sigma_0$  به آن وارد می‌شود، انتگرال تنش‌های شعاعی بر روی سطح بیرونی می‌بایست برابر صفر باشد بطوری که:

### ۱-۳- معادلات حاکم

معادلات تعادل برای یک تکسلول در دستگاه مختصات استوانه‌ای با در نظر گرفتن تقارن محوری و عدم وجود نیروهای بدنی به صورت زیر ساده می‌شوند:

$$(a) \frac{\partial \sigma_{zz}}{\partial z} + \frac{\tau_{rz}}{r} + \frac{\partial \tau_{rz}}{\partial r} = 0 \quad (3)$$

$$(b) \frac{\partial \sigma_{rr}}{\partial r} + \frac{\partial \tau_{rz}}{\partial z} + \frac{\sigma_{rr} - \sigma_{\theta\theta}}{r} = 0.$$

ترکیب معادلات ساختاری خزش<sup>۱</sup> و روابط نرخ کرنش - نرخ تغییر مکان، منجر به روابط غیر خطی زیر می‌شود که وابستگی نرخ تغییر مکان را به تنش‌های محوری و برشی بیان می‌کند:

$$\frac{\partial \dot{u}}{\partial r} - K(2\sigma_{rr} - \sigma_{\theta\theta} - \sigma_{zz}) = 0, \quad (4-a)$$

$$\frac{\dot{u}}{r} - K(2\sigma_{\theta\theta} - \sigma_{zz} - \sigma_{rr}) = 0, \quad (4-b)$$

$$\frac{\partial \dot{w}}{\partial z} - K(2\sigma_{zz} - \sigma_{\theta\theta} - \sigma_{rr}) = 0, \quad (4-c)$$

$$\frac{\partial \dot{u}}{\partial z} + \frac{\partial \dot{w}}{\partial r} - 6K\tau_{rz} = 0, \quad (4-d)$$

که در آن  $\sigma_{zz}$ ،  $\sigma_{rr}$ ،  $\sigma_{\theta\theta}$  و  $\tau_{rz}$  تنش‌های اعمالی در جهت‌های مشخص شده و  $\dot{u}$  و  $\dot{w}$  نرخ تغییر مکان به ترتیب در جهات  $r$  و  $z$  می‌باشند. عبارت  $K$  نیز به صورت  $K = \frac{\dot{e}_e}{2\sigma_e}$  تعریف می‌شود که  $\sigma_e$  تنش معادل بوده و بصورت زیر تعریف می‌شود:

$$\sigma_e = \sqrt{\frac{1}{2}[(\sigma_{rr} - \sigma_{zz})^2 + (\sigma_{rr} - \sigma_{\theta\theta})^2 + (\sigma_{\theta\theta} - \sigma_{zz})^2 + 6\tau_{rz}^2]^{\frac{1}{2}}}. \quad (5)$$

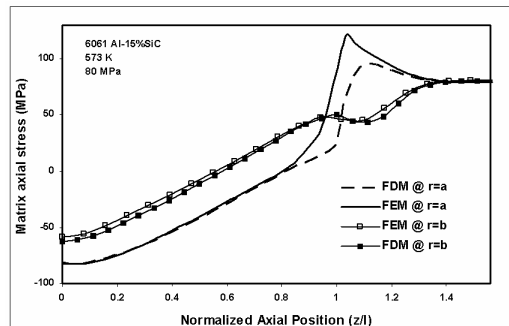
### ۲-۳- روش حل تفاضل محدود

دستگاه معادلات مشتقات جزئی حاکم با اعمال تقریب درجه اول تیلور گسسته‌سازی شده و به فرم ماتریسی بازنویسی می‌شوند. تنها نکته باقی‌مانده، وجود ترم‌های غیر خطی در معادلات گسسته سازی شده می‌باشد. در این بخش، سعی بر آن شده که با اعمال تکنیک مناسب مجموعه‌ی معادلات، خطی و قابل حل شوند. جهت نیل به این هدف، دستگاه معادلات جبری حاصل با استفاده از یک نوع تکنیک

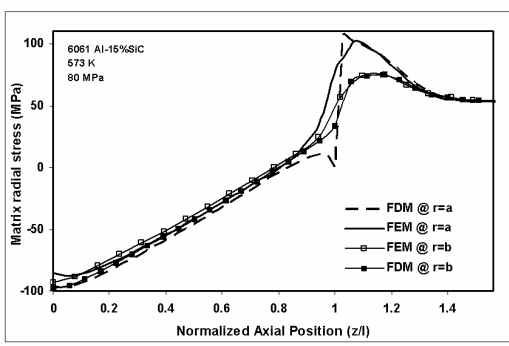
<sup>2</sup> Iterative

<sup>3</sup> Under Relaxation Technique

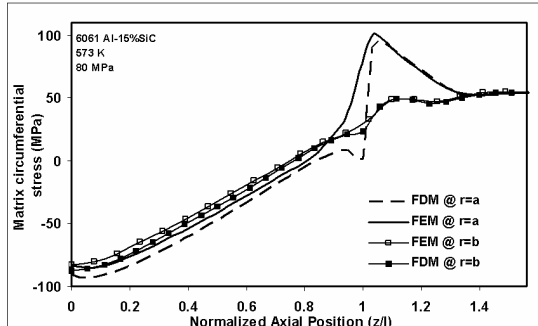
<sup>1</sup> Creep Constitutive Equations



۲-الف)



۲-ب)



۲-ج)

شکل(۲): الف- توزیع تنش محوری ب- توزیع تنش شعاعی، ج- توزیع تنش محیطی.

به منظور ایجاد توزیع یکنواخت  $\dot{u}$  روی سطح خارجی تک سلول، تنش‌های شعاعی تقریباً تا انتهای تقویت‌کننده در  $z/l = 1$  شکل فشاری (منفی) و از  $z/l = 1$  تا انتهای تک سلول، شکل کششی به خود گرفته است. این رفتار کمابیش در توزیع تنش محوری نیز مشاهده می‌شود. علت این رفتار در تنش محوری را می‌توان با بررسی مکانیزم انتقال بار از زمینه به تقویت‌کننده توجیه نمود. با حرکت از انتهای تقویت‌کننده به سمت پایین، به علت اتصال کامل زمینه و تقویت‌کننده و انتقال بار توسط تنش‌های برشی از

$$\bar{\sigma}_{rb} = \int_0^L \sigma_{rr} dz = 0 . \quad (9)$$

رابطه‌ی بالا، معادله‌ی کلیدی مورد نیاز جهت تعیین مقدار  $\dot{u}_b$  و حل کامل مسأله‌ی حاضر می‌باشد. با ثابت نگهداشت پارامترهای هندسی و تنش محوری اعمالی،  $\bar{\sigma}_{rb}$  تنها تابعی از  $\dot{u}_b$  خواهد بود. بنابراین با اعمال روش‌های مناسب تعیین ریشه<sup>۱</sup> به روش تکراری نظری روش نیوتون-رافسون<sup>۲</sup> یا روش بایسکشن<sup>۳</sup>[۲۳]، می‌توان مقدار  $\dot{u}_b$  را با دقت مورد نیاز بدست آورد.

#### ۴- نتایج

کامپوزیت Al 6061-15%SiC به عنوان نمونه جهت بررسی و مقایسه‌ی نتایج روش حاضر با دیگر روش‌های موجود انتخاب شده است. مدل‌سازی المان محدود مسأله‌ی با این فرض که فاز تقویت‌کننده فقط دارای رفتار الاستیک باشد انجام گرفته و شرایط مرزی اعمال شده نیز دقیقاً همانند شرایط مرزی مورد استفاده در حل تفاضلات محدود انتخاب شده‌اند. مدل المان محدود مذکور، با المان‌های دو بعدی هشت-گره‌ای PLANE 183 در حالت تقارن محوری در نرم‌افزار ANSYS مشبندی و حل شده است. همچنین، ثابت‌های مورد اشاره در رابطه‌ی (۱) نیز به صورت  $A = \exp(-24.7)$  و  $B = 6.47$  تعریف شده‌اند[۱۱].

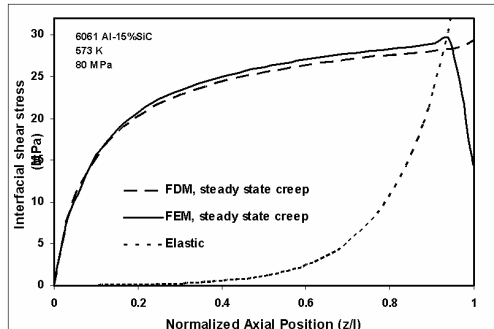
#### ۴-۱- مطالعه‌ی میدان‌های تنش

شکل‌های ۲-الف تا ۲-پ به ترتیب تنش‌های محوری، شعاعی و محیطی حاصل از حل تفاضلات محدود والمان محدود را نشان می‌دهد. جهت بررسی بهتر مسأله، این مقایسه در دو محل، یکی در سطح خارجی تک‌سلول ( $r = b$ ) و دیگری در مرز بین دو فاز ( $r = a$ ) انجام گرفته است. همانطور که در شکل‌ها مشخص است، سازگاری بسیار خوبی بین نتایج تفاضلات محدود و نتایج المان محدود مشاهده می‌شود.

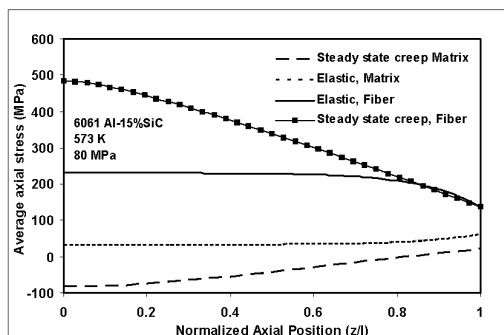
<sup>1</sup> Root-finding Method

<sup>2</sup> Newton-Raphson

<sup>3</sup> Bisection Method



(الف)



(ب)

شکل (۳): الف- مقایسه تنش محوری در زمینه و تقویت کننده در حالت الاستیک و خرُش، ب- توزیع تنش برشی در مرز زمینه و تقویت کننده در حالت الاستیک و خرُش

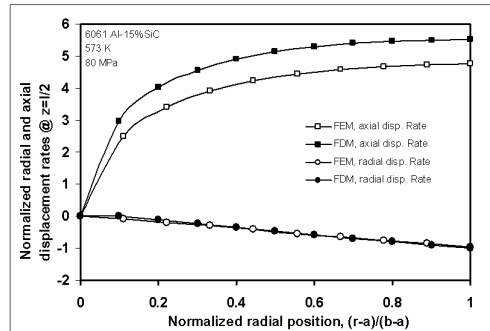
همان طور که در شکل مشخص است، در حالت الاستیک تنش برشی تقریباً در نیمی از طول تقویت کننده برابر صفر است و پس از آن به صورت نمایی افزایش پیدا می‌کند. این در حالی است که در حالت خرُش، تنش برشی از  $z=0$  به سرعت به صورت لگاریتمی افزایش پیدا کرده و تا انتهای تقریباً ثابت می‌ماند. این تغییر ماهیت توزیع تنش‌های برشی باعث می‌شود که سطح زیر نمودار تنش برشی در حالت خرُش مرحله‌ی پایدار بیشتر از حالت الاستیک شده و در نتیجه مقدار بار انتقال یافته به تقویت کننده نیز در حالت خرُش افزایش یابد.

#### ۴-۳- مطالعه میدان‌های نرخ تغییر مکان و نرخ کرنش کامپوزیت

حل مستقیم نرخ تغییر مکان‌های شعاعی و محوری یکی از برتری‌های مهم روش تفاضلات محدود نسبت به روش المان

زمینه به سطح تقویت کننده، تنش کشنی در تقویت کننده افزایش می‌یابد. با توجه به شرط تعادل نیروها در مقطع تک سلول، این افزایش تنش کشنی در تقویت کننده باعث شکل گیری تنش‌های محوری فشاری در زمینه می‌گردد. نتایج حل FDM همانند حل المان محدود، وجود مقادیر بزرگ تنش در انتهای تقویت کننده را آشکار می‌سازد. این تمرکز تنش که به علت وجود گوشه تیز تقویت کننده در  $(a, l)$  بوجود می‌آید، باعث لغزش زمینه روی تقویت کننده و یا در حالات بحرانی تر باعث جداش دو فاز می‌گردد.

**۴- ۲- مکانیزم انتقال بار از زمینه به تقویت کننده**  
بررسی توزیع تنش محوری در مرز میان تقویت کننده و زمینه در حالت الاستیک و خرُش باعث می‌شود تا شناخت بهتری از مکانیزم انتقال بار بین این دو فاز بدست آید. در حالت الاستیک، بخش زیادی از بار اعمالی به کامپوزیت به علت بزرگی مدول الاستیک تقویت کننده نسبت به زمینه، توسط تقویت کننده تحمل می‌شود. با وجود این در حالت خرُش، به علت فرض چسبندگی کامل زمینه و تقویت کننده و با توجه به خرُش ماده‌ی زمینه در مجاورت تقویت کننده، تقویت کننده سهم بسیار بیشتری از بار را در مقایسه با حالت الاستیک تحمل می‌کند. همانطور که در شکل ۳-الف مشاهده می‌شود، مقدار تنش محوری که در مرکز تقویت کننده ( $z=0$ ) به حداقل خود می‌رسد، در حالت خرُش بیشتر از دو برابر حالت الاستیک می‌باشد. این پدیده به همراه شرط تعادل محوری در مقطع تک‌سلول باعث تولید تنش‌های محوری فشاری در ماده زمینه مجاور تقویت کننده در حالت خرُش می‌شود. انتقال بار از زمینه به تقویت کننده در سطح جانبی ( $r=a$ ) از طریق تنش برشی ایجاد شده در مرز تماس دو فاز صورت می‌پذیرد. بنابراین، توزیع تنش‌های محوری در مرز دو فاز در حالات الاستیک و خرُش مرحله‌ی پایدار توسط توزیع تنش برشی تعیین می‌گردد.  
شکل ۳-ب توزیع تنش‌های برشی در حالات الاستیک و خرُش مرحله‌ی پایدار را نشان می‌دهد.



شکل (۴-ب):

شکل (۴): **الف**- توزیع نرخ تغییر مکان محوری و شعاعی در زمینه **ب**- مقایسه نرخ کرنش کامپوزیت بدست آمده با روش المان محدود و داده‌های تجربی.

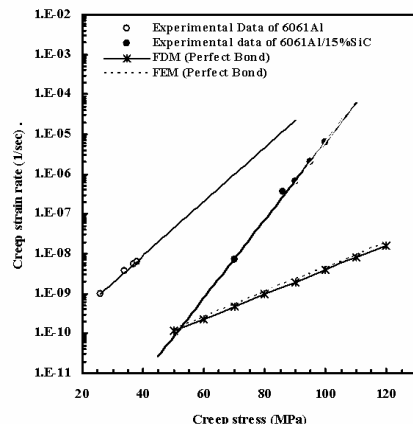
همانطور که ملاحظه می‌شود، مدل‌های عددی و تحلیلی موجود، قادر به ارائهٔ تخمین صحیحی از نرخ خرزش کامپوزیت Al 6061-15%SiCw می‌باشند. دلیل این امر را می‌توان به شکل گیری و ایجاد حفره‌ها در ماده‌ی زمینه در هنگام ساخت، گستالتگی و جدایش دو فاز زمینه و تقویت‌کننده، حتی در تنش‌های پایین و عدم همجهوت و موازی بودن تقویت‌کننده‌ها به صورتی که در مدل‌های موجود در نظر گرفته شده و نواقصی که در هنگام ساخت کامپوزیت پیش‌می‌آیند نسبت داد.

## ۵- نتیجه گیری

روش تفاضل محدود ارائه شده در این مقاله قادر است رفتار خرزشی کامپوزیت‌های زمینه فلزی با تقویت‌کننده‌ی کوتاه را تحت بار کششی و شرایط مرزی مشخص به خوبی پیش‌بینی کند. بعلاوه، میدان‌های تنش و نرخ تغییرمکان محدود داشته و همانگی خوبی با مدل‌سازی‌های المان محدود داشته و معادلات تعادل و معادلات ساختاری خرزش را ارضاء می‌کنند. همچنین، بررسی‌های انجام شده با فرض اتصال کامل زمینه و تقویت‌کننده، نشان می‌دهد که وجود مقادیر بالای تمرکز تنش در انتهای تقویت‌کننده باعث گستالتگی دو فاز و کاهش کارایی خرزشی کامپوزیت می‌شود.

محدود می‌باشد. مقادیر نرمال شده‌ی  $\dot{u}$  و  $\dot{W}$  در  $a \leq r \leq b$  و  $z = l/2$  برای هر دو روش تفاضلات محدود و المان محدود در شکل ۴-الف نشان داده شده است.

همانطور که در شکل مشخص است، سازگاری خوبی بین نتایج بدست آمده و نتایج المان محدود وجود دارد. مقدار  $\dot{u}$  از صفر در مرز زمینه و تقویت‌کننده به صورت خطی تا مقدار نهایی در سطح بیرونی تکسلول، یعنی  $\dot{u}_b$  تغییر می‌کند در حالی که مقادیر  $\dot{W}$  از صفر در مرز بین دو فاز با شبیه زیادی افزایش پیدا کرده و رفته رفته با نزدیک شدن به سطح بیرونی در  $r = b$  مقدار آن ثابت می‌شود. البته فرض رفتار الاستیک برای ماده‌ی تقویت‌کننده در حل المان محدود می‌تواند عامل اختلاف بوجود آمده بین مقادیر  $\dot{W}$  بدست آمده از حل تفاضل محدود و المان محدود باشد. میزان نرخ کرنش کامپوزیت بدست آمده از مدل‌های تفاضلات محدود، تئوری و المان محدود در شکل ۴-ب نتایج آزمایشگاهی [۱۱] مقایسه شده‌اند. همانطور که ملاحظه می‌شود، سازگاری بسیار خوبی بین نتایج روش تفاضلات محدود با دیگر روش‌های عددی و تئوری مشاهده می‌شود که این امر با توجه به سازگاری میدان‌های نرخ کرنش بدست آمده که در بخش قبل مورد مطالعه قرار گرفت، دور از انتظار نمی‌باشد.



شکل (۴-الف):

## مراجع

- Matrix", Int. J. Mech. Sci., Vol. 32, No. 10, pp. 801-815, 1990.
14. Hsueh, C.H., "Interfacial Debonding and Fiber Pull-out Stresses of Fiber-reinforced Composites", Mater. Sci. Eng., Vol. 123, pp. 1-11, 1990.
  15. Dragon, T.L. and Nix, W.D., "Geometric Factors Affecting the Internal Stress Distribution and High Temperature Creep Rate of Discontinuous Fiber Reinforced Metals", Acta. Metall. Mater., Vol. 38, pp. 1941-1953, 1990.
  16. Nieh, T.G., "Creep Rupture of a Silicon-Carbide Reinforced Aluminum Composite", Metall. Trans., Vol. A15, No. 1, pp. 139-146, 1984.
  17. Lilholt, H. and Taya, M., "Creep of SiC Whisker/2124 Aluminum Composite", In: Matthews FL, Buskell NC, Hodgkinson JM, Morton J, Editors. ICCM-VI/ECCM-II, Vol. 2, 1987.
  18. Hsueh, C.H., "Interfacial Debonding and Fiber Pullout Stresses of Fiber-reinforced Composites Part VII: Improved Analysis for Bonded Interfaces", Mater. Sci. Eng., Vol. A154, pp. 125-132, 1992.
  19. Hsueh, C.H., "A Modified Analysis for Stress Transfer in Fiber-reinforced Composites with Bonded Fiber Ends", J. Mater. Sci., Vol. 30, No. 1, pp. 219-224, 1995.
  20. Hsueh, C.H. and Becher, P.F., "Residual Thermal Stresses in Ceramic Composites, Part II: with Short Fibers", Mater. Sci. Eng., Vol. A 212, pp. 22-28, 1996.
  21. Hsueh, C.H., Young, R.J., Yang, X., and Becher, P.F., "Stress Transfer in a Model Composite Containing a Single Embedded Fiber", Acta Mater., Vol. 45, No. 4, pp. 1469-1476, 1997.
  22. Jiang, Z., Liu, X., Li, G., and Lian, J., "A New Analytical Model for Three-dimensional Elastic Stress Field Distribution in Short Fibre Composite", Mater. Sci. Eng., Vol. A336, pp. 381-396, 2004.
  23. Hoffman, J.D., "Numerical Methods for Scientists and Engineers", McGraw-Hill, New York 1992.
  24. Ames, W.F., "Non-linear Partial Differential Equations", 2<sup>nd</sup> Ed., Academic Press Inc., New York, 1977.
  1. Hsueh, C.H., "Young's Modulus of Unidirectional Discontinuous-fibre Composites", Compos. Science. Tech., Vol. 60, : No. 14, pp. 2671-2680, 2000.
  2. Lilholt, H., "Creep of Fibrous Composite Materials", Composite. Science. Tech. Vol.22 (1985) 277-294.1965.
  3. Mileiko, S.T., "Oxide-fiber/Ni-based Matrix composites-III: A Creep Model and Analysis of Experimental Data", Compos. Science. Tech., Vol. 62, No. 1, pp. 195-204, 2002.
  4. Tjong, S.C. and Ma, Z.Y., "The High Temperature Creep Behaviour of 2124 Aluminum Alloys with and without Particulate and SiC-whisker reinforcement", composites. Science. Tech., Vol.59, pp.737-747, 1999.
  5. Abedian, A., Mondali, M., and Pahlavanpour, M., "Basic Modifications in 3D Micromechanical Modeling of Short Fiber Composites with Bonded and Debonded Fiber End", Comput. Mater. Science., Vol. 40, pp. 421-433, 2007.
  6. Mondali, M., Abedian, A., and Adibnazari, S., "FEM Study of the Second Stage Creep Behavior of Al6061/SiC Metal Matrix Composites", Comput. Mater. Sci., Vol. 34, pp. 140-150, 2005.
  7. Kelly, A. and Street, K.N., "Creep of Discontinuous Fiber Composites. II. Theory for the Steady-state", Proc. of the Royal Society of London. Series A, pp.283-293, 1972.
  8. McLean, D., "Viscous Flow of Aligned Composites", J. Mater. Science., Vol.7, No. 1, pp. 98-104, 1972.
  9. McLean, M., "Creep Deformation of Metal-matrix Composites", Composites. Sci. Technol., Vol. 23, No. 1, pp. 37-52, 1985.
  10. Mileiko, S.T., "Steady state creep of a Composite with Short Fibres", J. Mat. Science., Vol. 5, pp. 254-261, 1970.
  11. Morimoto, T., Yamaoka, T., Lilholt, H. and Taya, M., "Second Stage Creep of Silicon Carbide Whisker/6061 Aluminum composite at 573 K", J. Eng. Mater. Tech., Vol. 110, pp. 70-76, 1988.
  12. Wang, Y.R. and Chou, T.W., "Analytical Modeling of Creep of Short Fiber Reinforced Ceramic Matrix Composite", J. Composite. Mater., Vol. 26, pp. 1269-1286, 1992.
  13. Lee, Y.S. and Batt, T.J., and Liaw, P.K., "Stress Analysis of a Composite Material with Short Elastic Fibre in Power Law Creep